

Régulation de température d'air

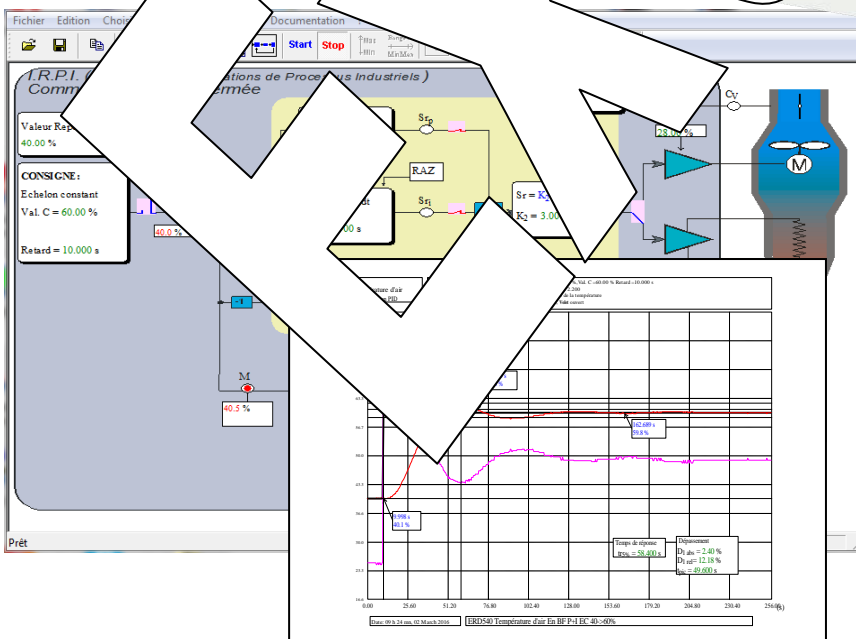


Manuel de comptes rendus de

↳ Sur le système ERD 540 000

Niveau :	CITE 2011
Licence et Ingénieurs	6
Master ou équivalent	7

z opérative
ERD 540 000



↳ Logiciels sur PC

D_Reg540 (Réf : ERD 540 100)



↳ En Option :

D_Scil (Réf : ERD 540 800)
Scilab-Xcos & Compilateur





SOMMAIRE:

Référence	Thème	Page
TP1-BO	Identification en Boucle Ouverte (BO)	5
TP2-BF-P	Etude en Boucle Fermée (BF) avec correction Proportionnelle	11
TP3-BF-PI	Etude en BF avec correction P. + Intégrale (PI)	19
TP4-BF-PID	Etude en BF avec correction P.+ I. + Dérivée (PID)	27
TP5-PRC	Prototypage Rapide avec « Scilab-Xcos » dans le domaine continu	
TP6-Num	Régulation dans le domaine numérique	
TP7-PRN	Prototypage Rapide dans le domaine numérique	
TP8-TOR	Régulation Tout Ou Rien (TOR)	
TP9-Cascade	Régulation Cascade	65
TP10-Flou	Régulation 'Flou'	71

Notice de l'ouvrage
ERD 540 080

Manuel de travaux pratiques
sujets Comptes rendus

Flux d'air dans le domaine continu
CITE 4-5-6-7 (STS; IUT)

050 Manuels (52 pages)
040 Manuels (52 pages)

Flux d'air dans le domaine échantillonné et dans le domaine continu
niveau 4-5-6-7 (Licence Ingénieur Master)
ERD 540 050 Manuels (5 sujets 48 pages)
ERD 540 060 Manuels Comptes rendus (52 pages)

Température
4-5-6-7 (STS; IUT; CPGE Licence Ingénieur)

ERD 540 050 Manuels (10 sujets 84 pages)
ERD 540 060 Manuels Comptes rendus (84 pages)

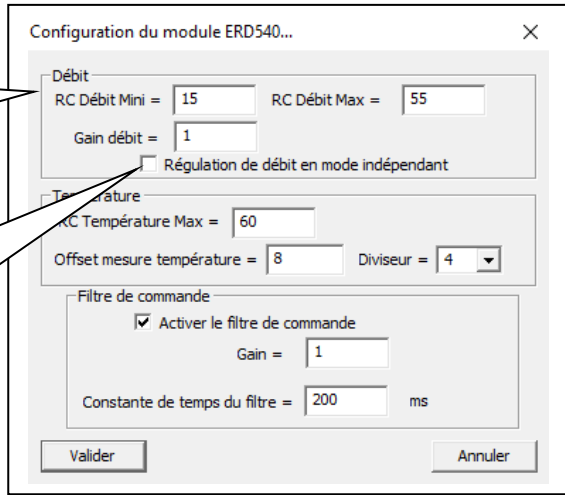


Ce manuel fait partie d'un ensemble de 10 manuels de travaux pratiques de régulation.

Tous les TP ont été réalisés avec la configuration du processus suivante :

Cliquer sur « valider » dans le dialogue de configuration du processus et enfin, dans la fenêtre de simulation, cliquer sur « Processus » pour valider les coefficients de régulation.

Lors de ces TP, on étudie la régulation de la température d'un flux d'air à débit constant. Le débit de ce flux d'air peut être régulé par correcteur PI. Dans ce cas la mesure du débit sera égale à la commande indépendante.
(Voir ci-après)
La régulation de débit en mode indépendant ne devra pas être activée lors du TP n°9 : Régulation cascade.

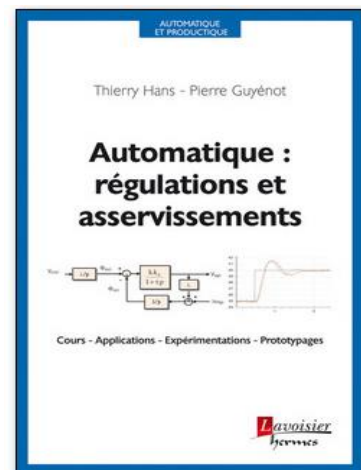
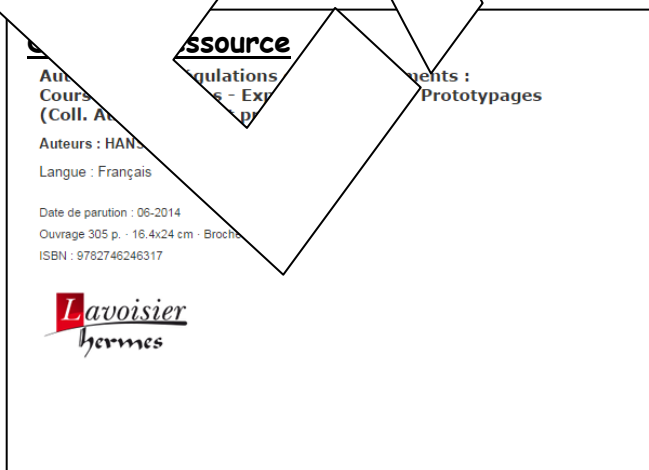
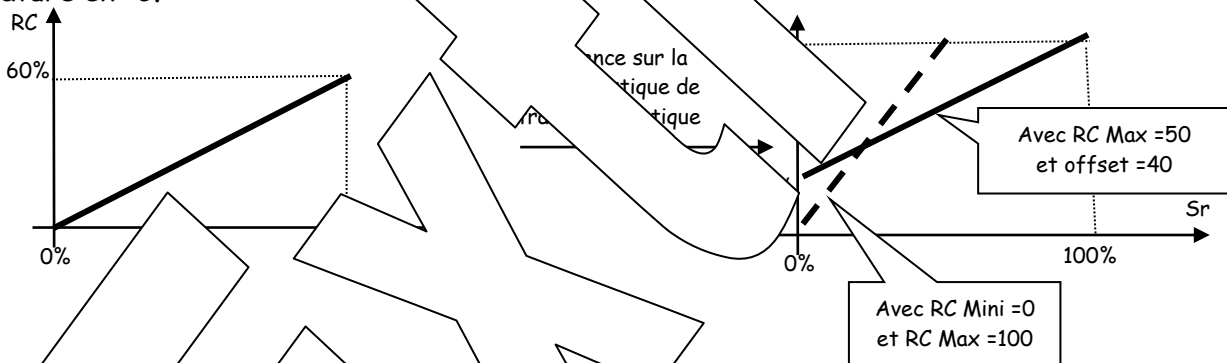


Remarques sur la configuration du processus

- Lors de ces TP, on étudie la régulation de température d'air à débit constant. Le débit d'air sera en « commande indépendante » :
- Si la régulation de débit en mode indépendant n'est pas activée ; la commande de débit sera choisie égale à 30%, ce qui devrait donner une mesure de débit voisine de 30%. Cette valeur est éventuellement à ajuster afin d'obtenir le point de repos à la température souhaité (En BO $M_T=50\%$ pour $S_r=40\%$)
- Si la régulation de débit en mode indépendant est activée. La commande de débit est alors activée, ce qui entraîne, en régime établi, une commande de débit (qui est alors une consigne) et la mesure de débit. Pour obtenir le point de repos en débit identique, on choisira donc une consigne égale à 20%. Cette valeur est éventuellement à ajuster afin d'obtenir le point de repos à la température souhaité (En BO $M_T=50\%$ pour $S_r=40\%$)

Les paramètres « RC Température Max » et « offset mesure température » permettent de linéariser et d'adapter la caractéristique de transfert statique en température. La grandeur de commande (S_r en BO température) de la résistance se situe dans la plage 0 à 100%. La résistance est alimentée par un générateur dont la consigne (RC) de 0 à 100%.

Choisir une « RC température Max » de 50 pour la consigne de 100%. L'« Offset mesure température » permet de faire correspondre la consigne de 100% à la température en °C.



Processus:
Débit et température d'air
ERD 540

Configuration:
Régulation de température d'air

COMPTE-RENDU

Identification en boucle ouverte (BO)

Niveau	CITE 2011
1 ^{er} second	4
2 ^{ème} sur cycle	5

SOMMAIRE:

1	Etude en régime statique	2
1.1	Caractéristique de transfert statique	2
1.1.1	Tableau de mesures	2
1.1.2	Caractéristique de transfert statique	2
1.2	Point de régulation	2
2	Etude en régime permanent	2
	Expérimentation	2
	Exploitation	2
3	Etude en régime harmonique	4
3.1	Caractéristique de transfert à la pulsation propre	4
3.2	Caractéristique de la pulsation particulière telle que $\varphi = -135^\circ$	5
3.3	Caractéristique de la pulsation particulière telle que $\varphi = -180^\circ$	6
4	Influence de la régulation	6

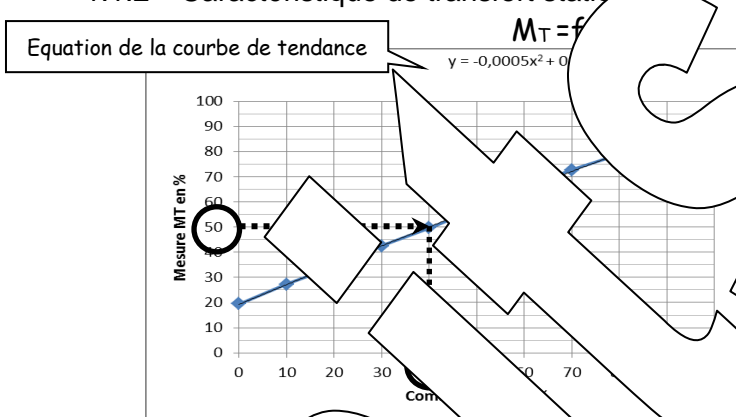
1 ETUDE EN REGIME STATIQUE

1.1 Caractéristique de transfert statique

1.1.1 Tableau de mesure

Sr en %	M _T en %
0	19,5
10	27,3
20	34,3
30	42,5
40	49,7
50	57,2
60	65,4
70	72,7
80	79
90	86

1.1.2 Caractéristique de transfert statique



1.2 Point de repos

→ Cette caractéristique n'est pas linéaire (du point de vue des données), elle n'est pas de la forme $y = a.x$.

→ L'équation de la courbe de tendance, d'ordre 2, est obtenue par "Excel", la plus proche de la courbe réelle est d'ordre 2.

→ La valeur de S_r , notée S_{r0} , qui permet d'obtenir une mesure M_{T0} est :

$$M_{T0} = -0,0005.(S_{r0} + 10)^2 + 0,014.(S_{r0} + 10) + 19,5 = 50 \rightarrow S_r = S_{r0} + 10 = 39,9\% \cong 40\% \quad \boxed{S_{r0} = 40\%}$$

→ Coefficient de transfert G_{vo} au point de repos :

$$G_{vo} = \frac{M_{T0}}{S_{r0}} = 1,25$$

→ Coefficient de transfert en variation G_{vo} au point de repos, est déduit de la dérivation de l'équation de tendance au point de repos :

$$\frac{\Delta M_D}{\Delta S_r} = -0,001(S_r + 10) + 0,014 \quad \text{avec } S_r = 40\% \rightarrow G_{vo} = \frac{\Delta M_T}{\Delta S_r} = 0,75$$

2 ETUDE EN REGIME DYNAMIQUE A L'ECHELON CONSTANT

2.1 Réponse en échelon

Sur la courbe de réponse en échelon, la variation de S_r autour du point de repos, l'échelon constant passe de $S_r = 30\%$ à $S_r = 50\%$.

La courbe de réponse en échelon est donnée page suivante.

2.2 Exploitation

→ Vérification du coefficient de transfert en variation :

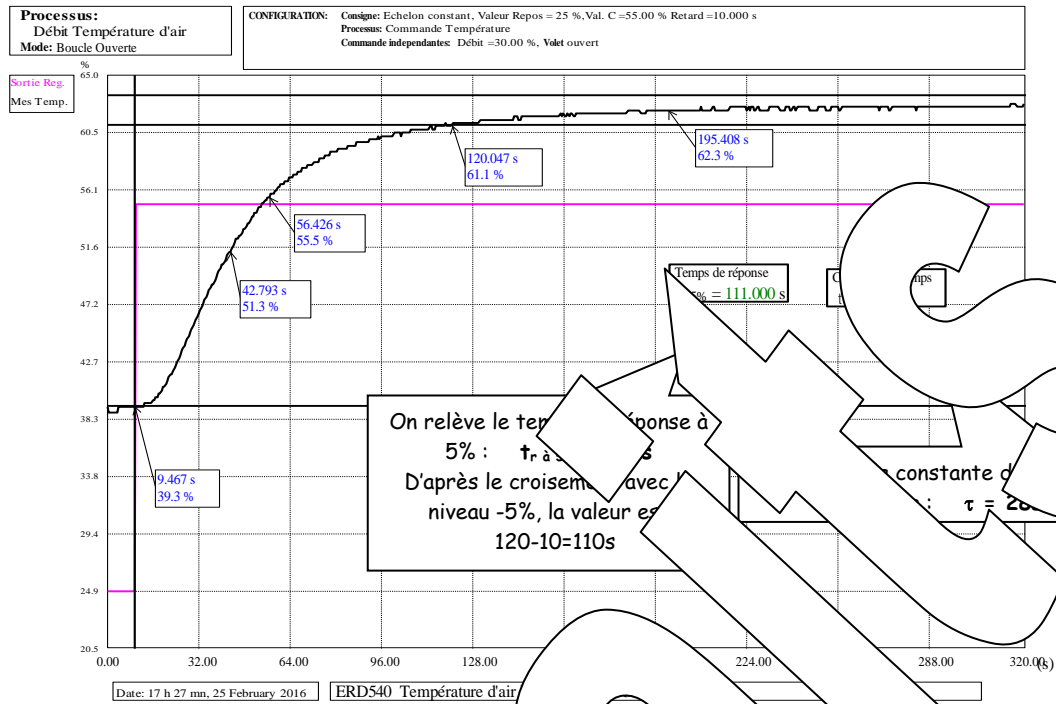
$$G_{vo} = \frac{\Delta M_D}{\Delta S_r} = \frac{62,3 - 39,3}{55 - 25} = 0,766 \quad \text{Vérifie la valeur obtenue précédemment}$$

→ Vérification du temps de réponse

Si le système était du premier ordre pur, le temps de réponse serait égal à :

$$t_{r \Delta 5\%} = 3 \times \tau_1 = 84s$$

Or on mesure $t_{r \Delta 5\%} = 114s$. On est donc en présence d'un système d'ordre supérieur à 1. Il y a donc une constante de temps non dominante mais qui ne peut être ignorée.



Un « zoom » au voisinage de t=0 montre qu'il n'y a pas de discontinuité mais au contraire un démarrage en pente nulle qui est caractéristique d'un système d'ordre 2.

→ Evaluation de la constante de temps dominante (τ₂) par la méthode des tangentes

	A	B	C
1		Val initiale MT(0)	
2		Val finale MT(infini)	
3		Retard	
4		Cste Temps dominant T2	
5		Cste Temps dominante T1	30,000
6			

Valeur initiale

t absolu	M _T relevée	M _T calculée	différence	différence au carré
0,5	38,75	38,75	0,00	0,00
1,5	38,75	38,75	0,00	0,00
2,5	38,75	38,75	0,00	0,00
3,5	38,75	38,75	0,00	0,00
4,5	39,25	39,25	0,00	0,00
5,5	39,25	39,25	0,00	0,00
6,5	39,25	39,25	0,00	0,00
7	39,25	39,25	0,00	0,00

Valeur finale

Remarque : L'échelon de commande étant appliqué avec un retard de 5s le calcul ne doit commencer qu'à partir de t>10s valeur notée « Retard »

deux variables recherchées, avant optimisation (départ, mettre des valeurs approximatives)

Somme des différences aux carré
Résultat avant optimisation

$f_x = (C11-B11)^2$ Colonne des (différences)²

Colonne des valeurs calculées avec la formule de calcul :

$$M_{T(t)} = M_{T(0)} + (M_{T(\infty)} - M_{T(0)}) \cdot \left(1 - \frac{1}{\tau_1 - \tau_2} \left(\tau_1 \cdot e^{-\frac{t-t_{init}}{\tau_1}} - \tau_2 \cdot e^{-\frac{t-t_{init}}{\tau_2}} \right) \right)$$

Soit : Si t>5s alors

$$M_{T(t)} = M_{T(0)} + (M_{T(\infty)} - M_{T(0)}) \cdot \left(1 - \frac{1}{\tau_1 - \tau_2} \left(\tau_1 \cdot e^{-\frac{t-t_{init}}{\tau_1}} - \tau_2 \cdot e^{-\frac{t-t_{init}}{\tau_2}} \right) \right)$$

Les deux colonnes notées « t absolu » et « M_T relevée » sont obtenues à partir du fichier de points enregistré à partir de l'essai expérimental précédent par « Fichier » puis « Exporter... » alors que la courbe est à l'écran. On récupère les deux colonnes utiles et on remplace les « . » par des « , » On se limite à la partie de la courbe telle que la valeur finale n'est pas atteinte.

Après 'clik' sur

Données

puis sur

Solveur

Ce qui conduit au résultat

Val Initiale MT(0)	41,75
Val finale MT(infini)	56,5
Retard	10
Cste Temps dominant T2	14,5641
Cste Temps dominante T1	25,9410

t absolu	MT relevée	MT calculé	Dif carré	Somme
0	42	42,00	0,00	342,67
0,5	42	42,00	0,00	

Avant résolution : 0,767
Après résolution : 10,96

Soit la fonction de transfert du système variable en variation autour du point de régime le modèle de d'ordre 2 :

$$G_{v(p)} = \frac{\Delta M_{T(p)}}{\Delta S_{r(p)}} = \frac{0,767}{25,9 \cdot p \cdot (1 + 14,6 \cdot p)} = \frac{0,767}{1 + 40,5 \cdot p + 378 \cdot p^2}$$

Soit la pulsation propre :

rad/s et le amortissement : $\xi_o = \frac{(\tau_1 + \tau_2) \cdot \omega_o}{2} = 1,03$

3. IDENTIFICATION EN REGIME PERMANENT

3.1. Réponse à la pulsation propre

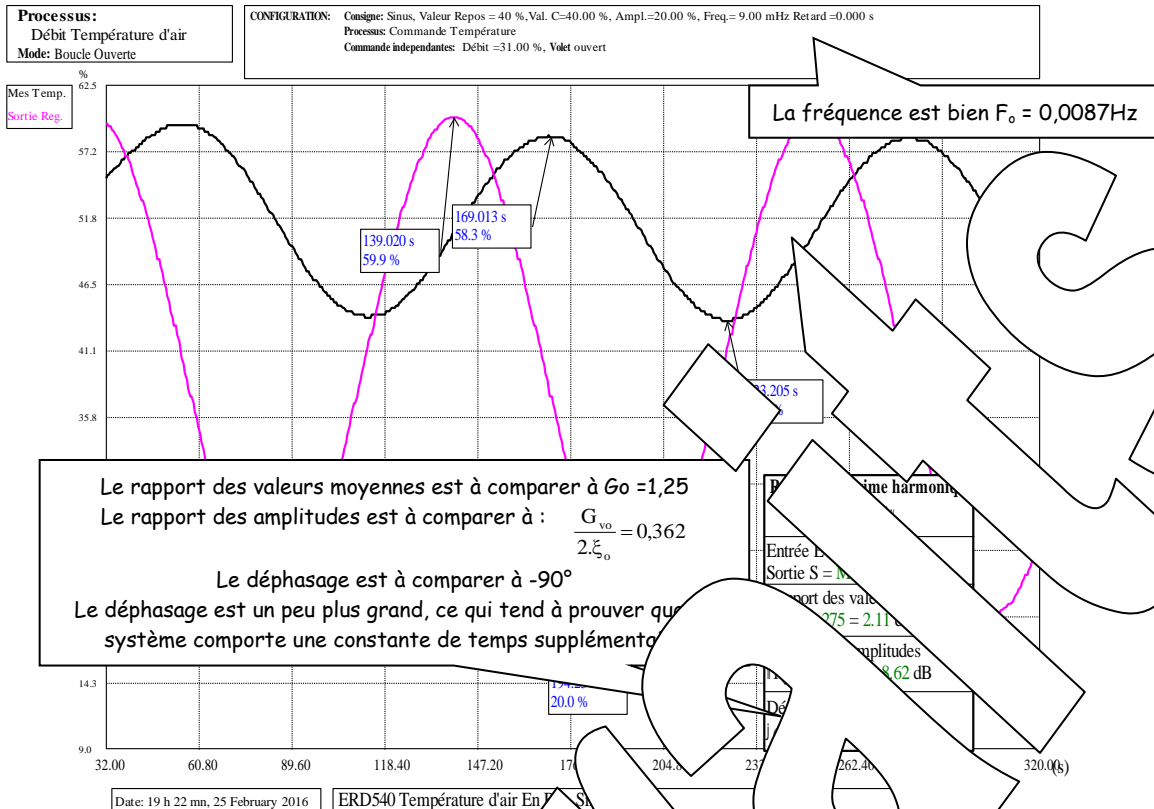
Régime permanent

→ Réponse pour une pulsation égale à $\omega = 1/\sqrt{\tau_1 \cdot \tau_2} = 0,055 \text{ rad/s}$ → $F = 0,00876 \text{ hz}$

Exploitation

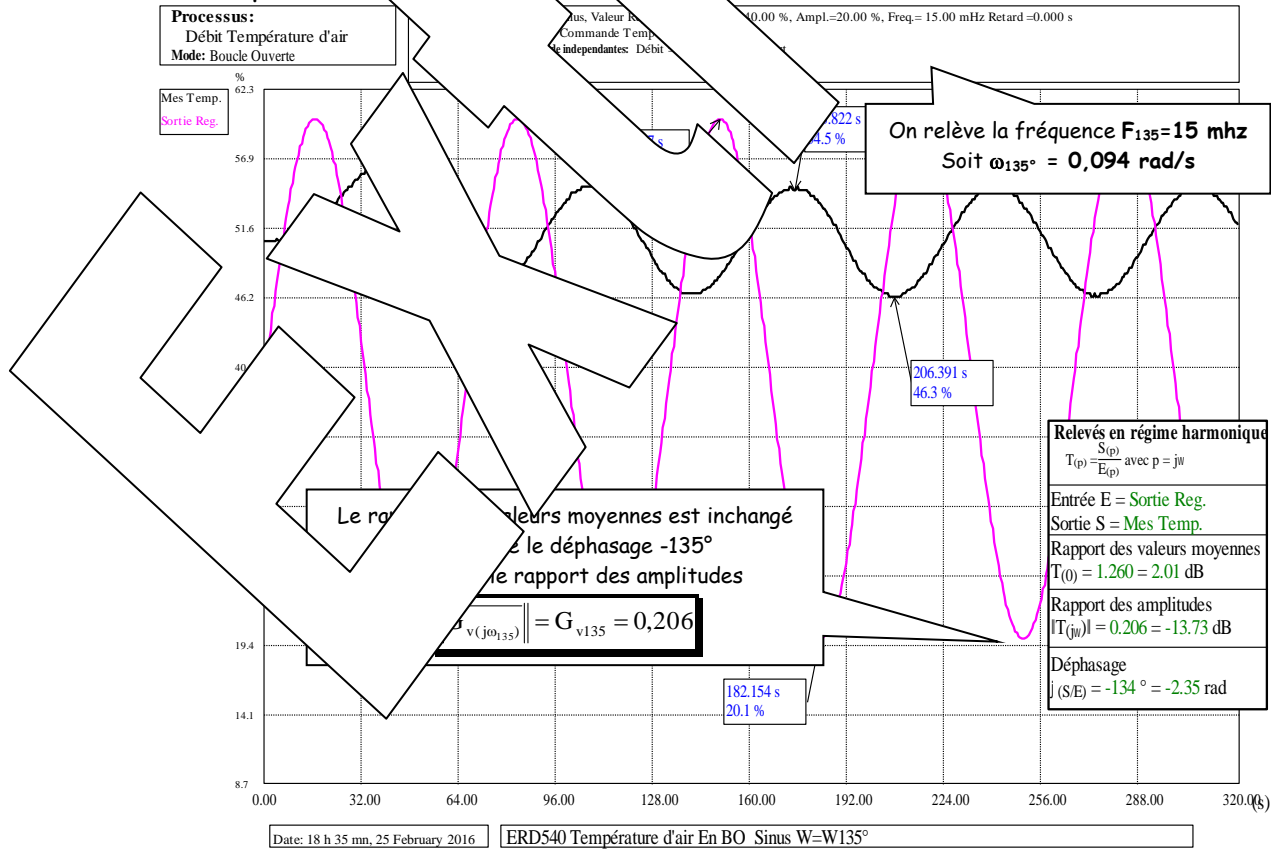
Ce qui donne en régime harmonique: $G_{v(j\omega)} = \frac{\Delta M_{T(j\omega)}}{\Delta S_{r(j\omega)}} = \frac{G_{vo}}{1 - \frac{\omega^2}{\omega_o^2} + j\omega \frac{2 \cdot \xi_o}{\omega_o}}$

En $\omega = \omega_o$ → $\|G_{v(j\omega_o)}\| = \frac{G_{vo}}{2 \cdot \xi_o}$ et $\text{Arg}[G_{v(j\omega_o)}] = -\pi/2 = -90^\circ$



3.2 Recherche de la pulsation particulière que $\phi = -135^\circ$

Relevé expérimental



Exploitation

Si on calcule la contribution sur l'argument de la FT du modèle

$$\text{Arg}(G_{v(j\omega)}) = -\text{ATAN}(25,9.\omega) - \text{ATAN}(12,7.\omega) = -2,05\text{rad} \text{ soit } -117^\circ$$

Cela montre qu'il y a une constante de temps supplémentaire qui contribue au déphasage

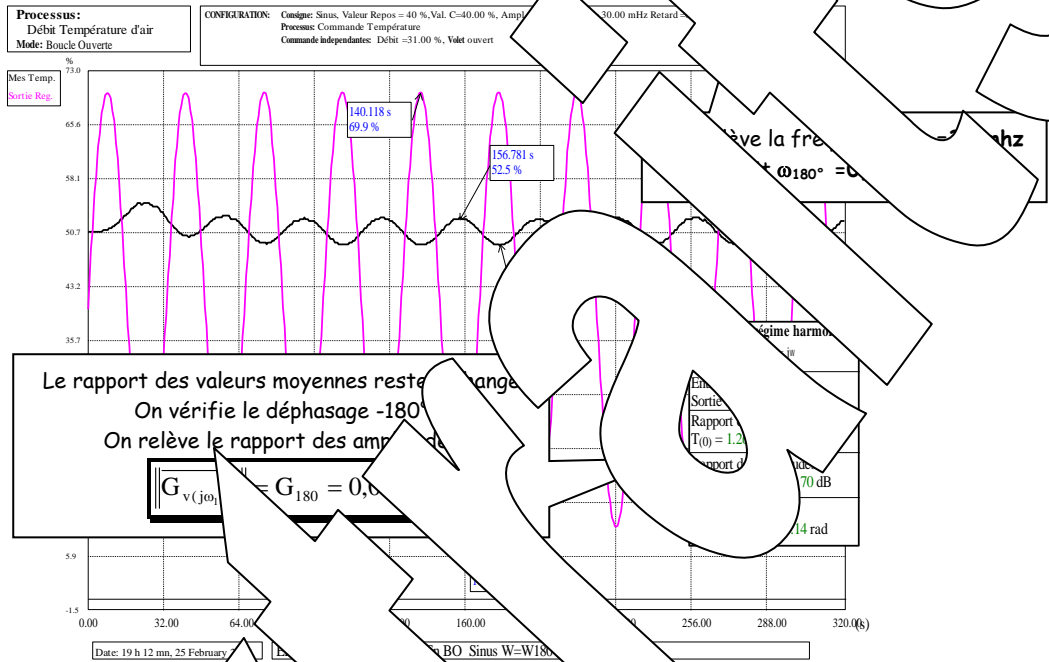
Si on veut être plus précis il faudrait envisager un modèle d'ordre trois.

→ La constante de temps qui crée les 17,26° manquant vaut $\tau_3 = 3,3\text{s}$

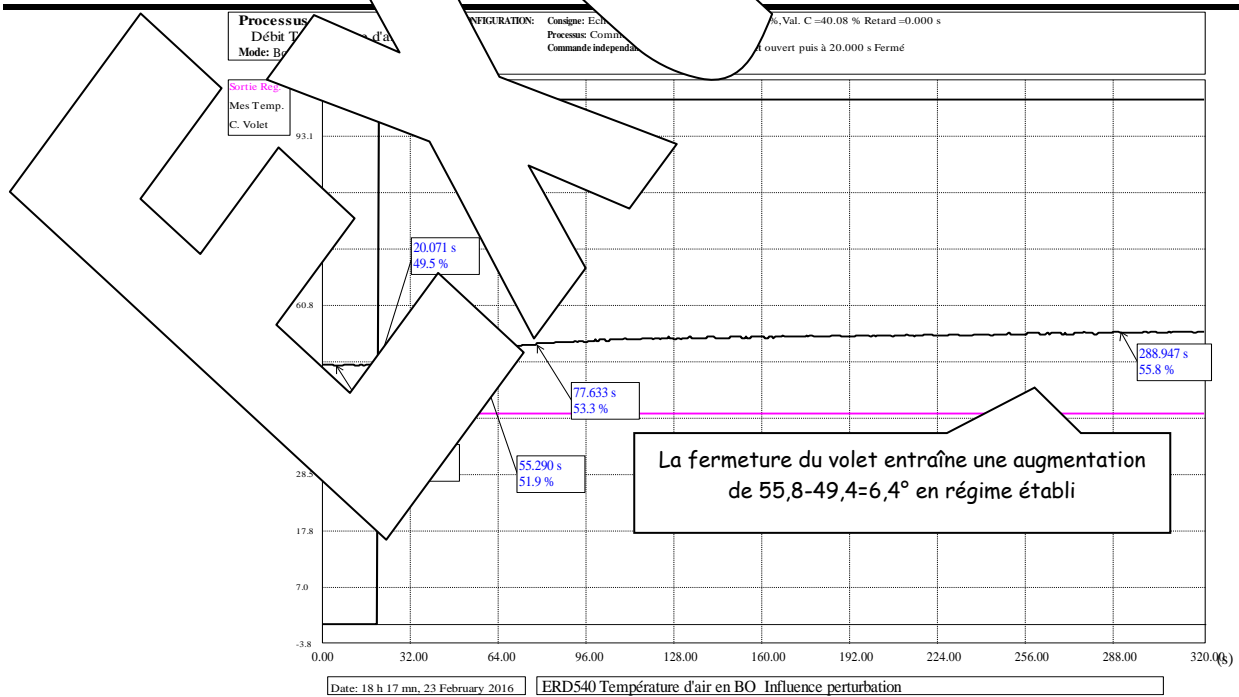
Soit le modèle d'ordre 3:

$$G_{v(p)} = \frac{0,767}{(1 + 25,9.p)(1 + 12,7.p)(1 + 3,3.p)} + 42.p + 456,3.p^2 + 85.p^3$$

3.3 Recherche de la pulsation particulière tel $\omega = 180^\circ$



4 INFLUENCE DE LA PERTURBATION



Processus:
Débit et température d'air
ERD 540

Configuration:
Régulation de température d'air

COMPTE-RENDU DU TP

Régulation avec correcteur à actions I. + I. (Z. numériques)
(Domaine échantillon)

Niveau	CITE 2011
Compétence 6	6
Compétence 7	7

SOMMAIRE:

1 Etude avec correcteur à action I. + I. (Z. numériques)	2
1.1 Prédéterminations	2
1.1.1 Etude du correcteur (isolé / ouverte)	2
1.1.2 Etude du système (boucle fermée)	2
1.2 Expérimentations	5
1.2.1 En régime échelon constant	5
1.2.2 En régime de consigne propre	5
1.2.3 En régime rampe	6
1.2.4 Recherche de la justesse	6
2 Etude avec correcteur à action I. + I. (Z. numériques)	7
2.1 Prédéterminations	7
2.2 Expérimentations	8
2.2.1 En régime sinusoïdal, à $\omega = \omega_{osc}$	8
2.2.2 En régime échelon	8
2.2.3 En régime de consigne propre ω_F	9
2.2.4 En régime rampe	10
3 Comparaison I. + I. (Z. numériques)	10
3.1 En échelon constant	10
3.2 En rampe	10

Rappel des objectifs :

Le but est de régler une régulation température d'air

Il s'agit d'expérimenter le système en boucle fermée, avec un correcteur numérique (échantillonné) défini par sa transformée en "z".

Le réglage du correcteur de type Intégral (I.) puis I. + Zéro (Z.) dans le domaine z sera déterminé à partir du modèle identifié lors du TP n°1 à un modèle d'ordre 1.

Le système une fois réglé devra satisfaire un cahier des charges imposé (degré de stabilité, précision, rapidité de réponse).

1 ETUDE AVEC CORRECTEUR A ACTION INTEGRALE (I.)

1.1 Prédéterminations

1.1.1 Etude du correcteur isolé (en boucle ouverte)

→ Relation de récurrence

D'après la fonction de transfert du correcteur:

$$Sr(z) (1 - z^{-1}) = C_0 \cdot \varepsilon(z) \rightarrow Sr(z) - Sr(z) \cdot z^{-1} = C_0 \cdot \varepsilon(z)$$

On en déduit la relation de récurrence (relation entre deux échantillons) en multipliant par z^{-1} c'est retarder d'une période d'échantillonnage T_e rappelant que:

$$Sr_n = Sr_{n-1} + C_0 \cdot \varepsilon_n$$

où Sr_n est le résultat de calcul du correcteur à l'échantillon $n \cdot T_e$
 ε_n est la valeur de l'écart à $t = n \cdot T_e$
 Sr_{n-1} la valeur du résultat de calcul d'avant ($(n-1) \cdot T_e$)

→ Application à la réponse à un échelon constant de Amplitude A $C_0 = 2$

$$A \quad t = T_e \quad Sr_{n-1} = 0 \rightarrow Sr_n = Sr_{n-1} + A \cdot C_0 = 0 + 10 = 10$$

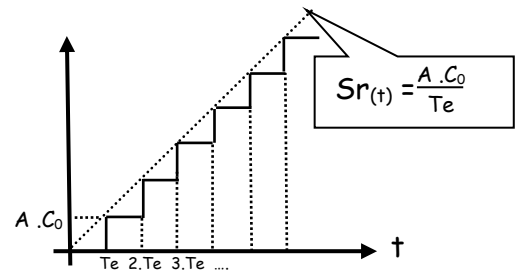
Pour tous les échantillons suivants

Soit le tableau de points:

n =	1	2	3	4	5	6	7	8	9	10
Sr _n	10	20	30	40	50	60	70	80	90	100

Globalement $Sr(t)$ a l'allure d'une droite $Y = a \cdot t$ de coefficient directeur $a = C_0 / T_e$

La régulation avec un correcteur à action intégrale nécessite une intégration continue.



1.1.2 Etude du système en boucle fermée

↳ Fonctions de transfert

→ Fonction de transfert du bloqueur d'ordre zéro:

On rappelle la fonction de transfert d'un bloqueur d'ordre 0:

$$B_{O(p)} = \frac{1 - e^{-T_e p}}{p}$$

avec T_e la période d'échantillonnage du régulateur échantillonné exprimé en S.

On rappelle également que la transformée en "z" n'est autre qu'un changement de variable par rapport à la transformation de Laplace: $z = e^{T_e p}$ et $z^{-1} = e^{-T_e p}$

La partie $(1 - e^{-T_e p})$ de la fonction de transfert du bloqueur se transforme donc en $1 - z^{-1}$

→ Fonction de transfert en boucle ouverte:
(Tf voulant dire Transformée en z de ...)

$$O_{(z)} = \frac{\Delta M_{D(z)}}{\Delta \varepsilon_{(z)}} = \frac{C_0}{1-z^{-1}} (1-z^{-1}) \text{Tf} \left[\frac{G_{vo}}{p(1+\tau_1 p)} \right]$$

$$O_{(z)} = \frac{\Delta M_{D(z)}}{\Delta \varepsilon_{(z)}} = \frac{k_0}{1-z^{-1}} (1-z^{-1}) \left[\frac{z(1-\delta)}{(z-1)(z-\delta)} \right]$$

Si on pose: $k_0 = C_0 G_{vo}$ et $e^{-\frac{Te}{\tau_1}} = \delta$
et en utilisant les tables de transformées fournies dans le dossier ressource n°2, on obtient:

$$O_{(z)} = \frac{\Delta M_{D(z)}}{\Delta \varepsilon_{(z)}} = \frac{k_0 z (1-\delta)}{(z-1)(z-\delta)}$$

→ Fonction de transfert en boucle fermée:

$$F_{(z)} = \frac{\Delta M_{D(z)}}{\Delta C_z} = \frac{O_{(z)}}{1+O_{(z)}} = \frac{\frac{k_0 z (1-\delta)}{(z-1)(z-\delta)}}{1 + \frac{k_0 z (1-\delta)}{(z-1)(z-\delta)}} = \frac{k_0 z (1-\delta)}{(z-1)(z-\delta) + k_0 z}$$

Soit: $b_0 = k_0(1-\delta)$ $a_0 = \delta$ et $a_1 = -1 - \frac{k_0}{1-\delta}$

Etude de la stabilité

D'après le critère de "Jury" le système sera stable si les trois conditions suivantes sont vérifiées:

$$\begin{cases} a_0 > -1 - a_1 \\ a_0 > -1 + a_1 \\ \|a_0\| < 1 \end{cases}$$

soit:

$$\begin{cases} \delta > +\delta - k_0(1-\delta) \\ \delta > -2 - \delta + k_0(1-\delta) \\ \|\delta\| < 1 \end{cases}$$

$$\begin{cases} k_0 > 0 \\ k_0 < 2(1-\delta) \\ k_0 < 14 \end{cases}$$

Application numérique:

D'après résultats d'identification obtenus dans le TP n°1

$\tau_1 = 25,95$ et pour $Te = 10s \rightarrow \delta = 0,68$ $\rightarrow 1 - \delta = 0,32$

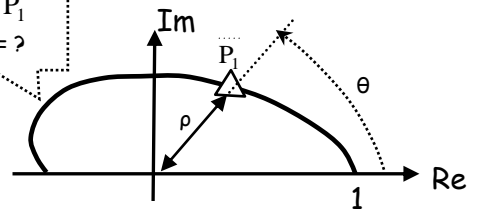
Soit les trois conditions: $k_0 > 0$; $k_0 < 2(1-\delta) \rightarrow 0 < k_0 < 0,64$

Puisque $k_0 = C_0 G_{vo}$ et $G_{vo} = 14$, la condition de stabilité est: $C_0 < 0,46$

Réglage du coefficient C_0 pour un régime de stabilité imposé

Si on souhaite que le déphasage soit égal à deux racines complexes conjuguées avec un amortissement égal à $\xi_F = 0,5$

On rappelle la forme de la FTB: $F_{(z)} = \frac{P_1}{(z-P_1)}$ lieu de P_1 pour $\xi = ?$



P_1 sont deux pôles conjugués tels que $P_1 = \rho e^{j\theta}$ et $P_1^* = \rho e^{-j\theta}$

le module $\rho = \xi_F \omega_F Te$ et l'angle $\theta = \omega_F \sqrt{1 - \xi_F^2} Te$

avec la forme de la FTB précédemment, on obtient les relations:

$$\cos(\theta) = -a_1 = -\delta - \frac{k_0}{1-\delta} \quad \text{et} \quad \rho^2 = a_0 = \delta$$

Application numérique: $Te = 10s$ vaut $\delta = 0,68$

$\cos(\theta) = -0,32 - \frac{k_0}{0,32}$ et $(e^{-5 \cdot \omega_F})^2 = 0,68$

Solution $\rightarrow C_0 = 0,38 \text{ rad/s}$ et $k_0 = 0,38 \rightarrow C_0 = \frac{k_0}{G_{vo}} = 0,5$

Comportement en régime statique, consigne de repos

L'action intégrale impose une erreur statique nulle \rightarrow Pour obtenir la valeur de repos $M_{T0} = 50\%$, il faut

que $C = \varepsilon_0 + M_{D0} = 50\%$

Comportement en échelon constant autour du point de repos

→ Le coefficient de transfert en boucle fermée, en variation autour du point de repos n'est autre que $G_{vBF} = F(1)$ soit

$$F(1) = \frac{k_0(1-\delta)}{1-1-\delta+k_0(1-\delta)+\delta} = 1 \rightarrow G_{vBF} = \frac{\Delta M_T}{\Delta C} = 1$$

→ Recherche de la valeur de k_0 qui conduit à un dépassement de l'ordre 15%

Pour $k_0 = 0,35$ (soit $C_0 = k_0/G_{v0} = 0,47$):

Calcul des échantillons de la réponse à une variation de consigne d'amplitude $A=2$

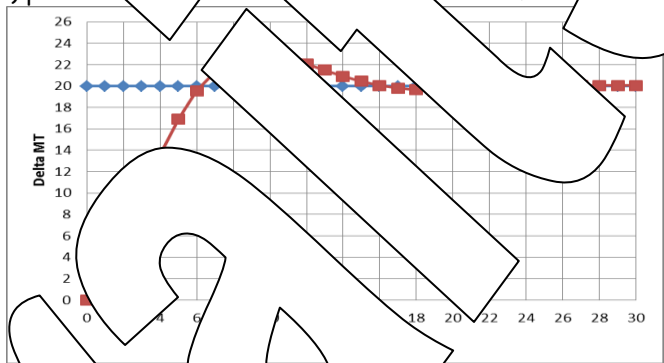
$$F(z) = \frac{\Delta M_{D(z)}}{\Delta C(z)} = \frac{k_0 \cdot (1-\delta) \cdot z}{z^2 - (1+\delta - (k_0(1-\delta)))z + \delta} = \frac{0,112 \cdot z^{-1}}{1 - 1,568 \cdot z^{-1} + 0,68 \cdot z^{-2}}$$

$$\rightarrow \Delta M_{(z)} = 0,112 \cdot \Delta C_{(z)} \cdot z^{-1} + 1,568 \cdot \Delta M_{(z)} \cdot z^{-1} - 0,68 \cdot \Delta M_{(z)} \cdot z^{-2}$$

Soit la relation de récurrence : $\Delta M_n = 0,112 \cdot \Delta C - 1,568 \cdot \Delta M_{n-1} + 0,68 \cdot \Delta M_{n-2}$

Et le tableau des valeurs (calculé avec Excel) pour $\Delta C = 2$ et l'échelon $t = n \cdot T_e$

n =	MT (∞)	MT (n)			
0	20	0	15	20	20,43
1	20	2,24	16	20	20,06
2	20	5,752	17	20	19,79
3	20	9,736	18	20	19,64
4	20	13,6	19	20	19,57
5	20	16,94	20	20	19,57
6	20	19,55	21	20	19,62
7	20	21,38	22	20	19,7
8	20	22,47	23	20	19,79
9	20	22,93	24	20	19,87
10	20	22,92	25	20	19,94
11	20	22,58	26	20	19,99
12	20	22,07	27	20	20,03
13	20	21,48	28	20	20,06
14	20	20,92	29	20	20,08



→ Dépassement de 14,6% pour $n = 9$
 D_{1%} = 93
 → Dépassement relatif
 D_{1%} = 100% - 85,4% = 14,6% (résultat recherché)
 L'instant du maximum $t_{pic} \cong 9 \cdot T_e = 90s$
 Temps de réponse à 5% $13 < n < 14$
 $t_{5\%} \cong 13,5 \cdot T_e = 135s$

On vérifie : $\Delta M_{T(\infty)} = \Delta C \cdot G_{vBF} = 2 \cdot 1 = 2$

Comportement en échelon de vitesse

Dans ce cas, le système est caractérisé par un échelon de vitesse $\Delta C(t) = V \cdot t$

$$\Delta C(t) = V \cdot t \cdot u(t)$$

Soit l'échelon de vitesse

$$\frac{V \cdot T_e \cdot z}{(1-z)^2}$$

Soit la transformée de Laplace

$$M(z) = C(z) \cdot F(z), C(z) = (1-F(z))^{-1}$$

En fait, l'échelon de vitesse est un échelon de vitesse, on a donc un échelon de vitesse $\Delta C(t) = V \cdot t$

On a donc un échelon de vitesse, on a donc un échelon de vitesse $\Delta C(t) = V \cdot t$

$$\epsilon_T = \lim_{z \rightarrow 1} \left(\frac{z-1}{z} \cdot \epsilon(z) \right)$$

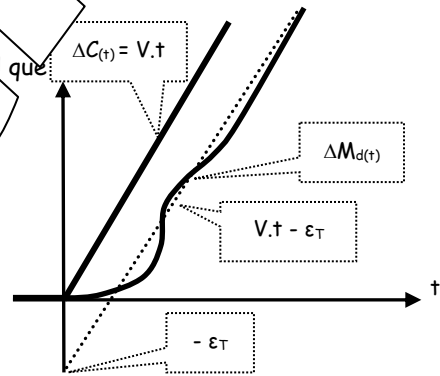
$$\epsilon_T = \lim_{z \rightarrow 1} \left(\frac{z-1}{z} \cdot \frac{V \cdot T_e \cdot z}{(1-F(z)) \cdot (z-1)^2} \right) = \lim_{z \rightarrow 1} \left(1 - \frac{b_0}{z^2 + a_1 z + a_0} \right) \left(\frac{V \cdot T_e}{(z-1)} \right)$$

Si on fait $z=1$ dans le numérateur, on obtient une forme indéterminée 0/0. Pour lever l'indétermination, on multiplie le numérateur et le dénominateur par $(z-1)$.

$$\epsilon_T = \lim_{z \rightarrow 1} \left(\frac{z^2 + a_1 z + a_0 - (z-1)}{z^2 + a_1 z + a_0} \cdot \frac{V \cdot T_e}{(z-1)} \right) = \lim_{z \rightarrow 1} \left(\frac{V \cdot T_e \cdot (z-\delta)}{z^2 + a_1 z + a_0} \right)$$

D'après les expressions déterminées précédemment, on obtient:

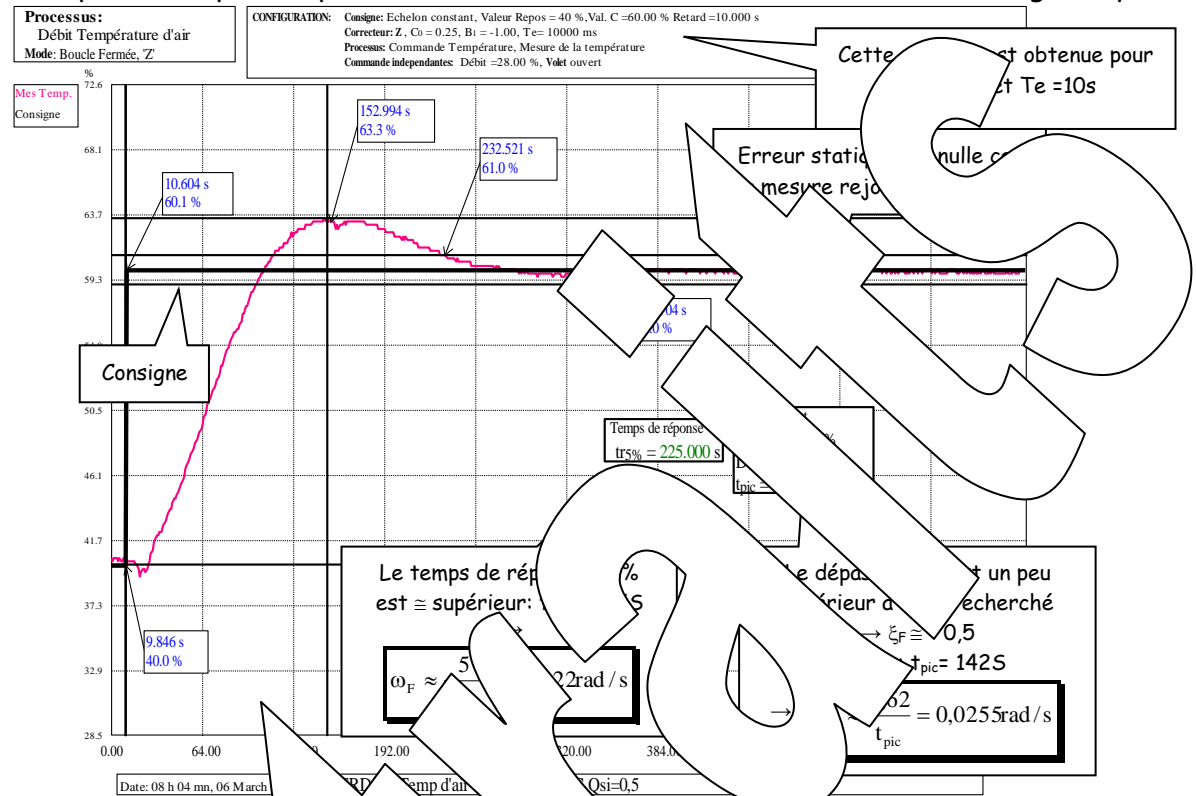
$$\epsilon_T = \left(\frac{V \cdot T_e \cdot (1-\delta)}{k_0(1-\delta)} \right) \rightarrow \epsilon_T = \frac{V \cdot T_e}{k_0}$$



1.2 Expérimentations

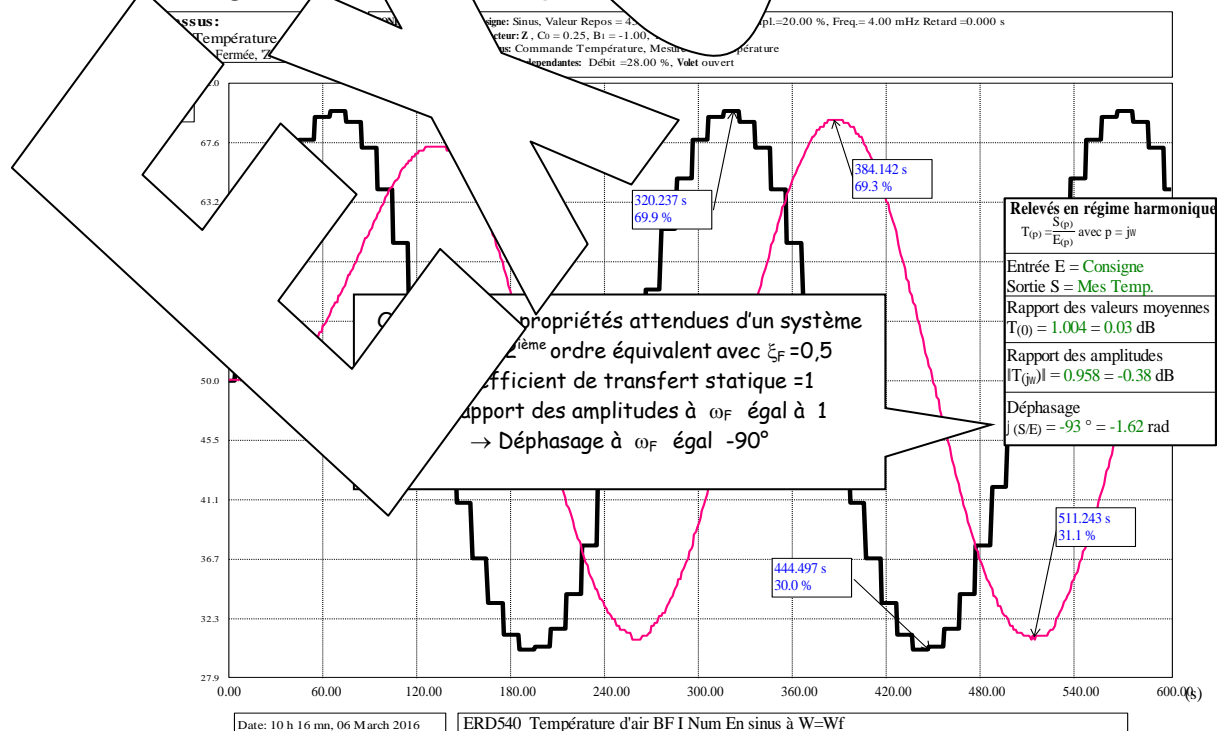
1.2.1 En régime d'échelon constant

↳ Réponse temporelle pour une valeur de C_0 satisfaisant le cahier des charges imposé

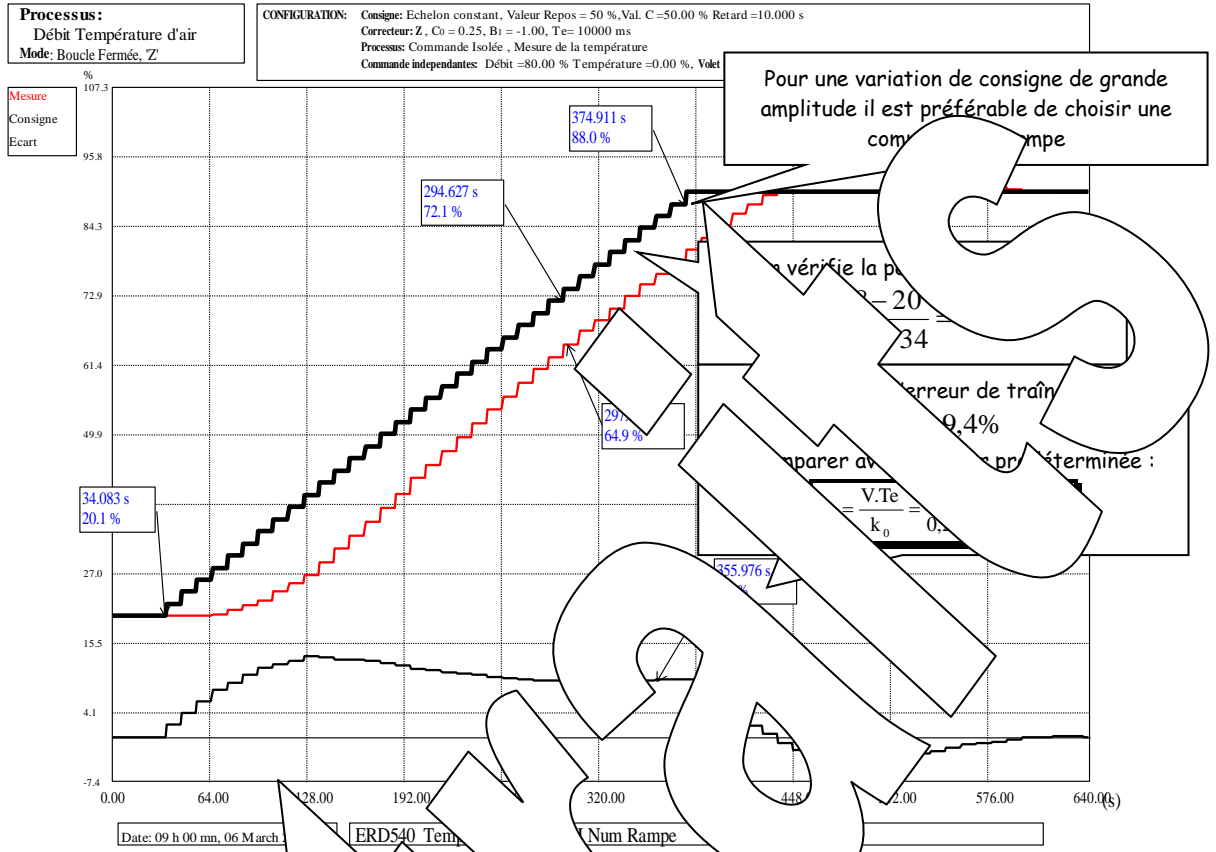


Remarques : Les résultats expérimentaux sont sensibles aux prédéterminations, même si les ordres de grandeurs sont respectés. Les résultats sont dus au fait que les prédéterminations sont faites à partir d'un modèle d'ordre 1. C'est évident lors du T1 car le système était d'ordre trois avec, il est vrai une constante de temps dominante plus.

1.2.2 En régime sinusoïdal à la puissance $\omega = \omega_F$

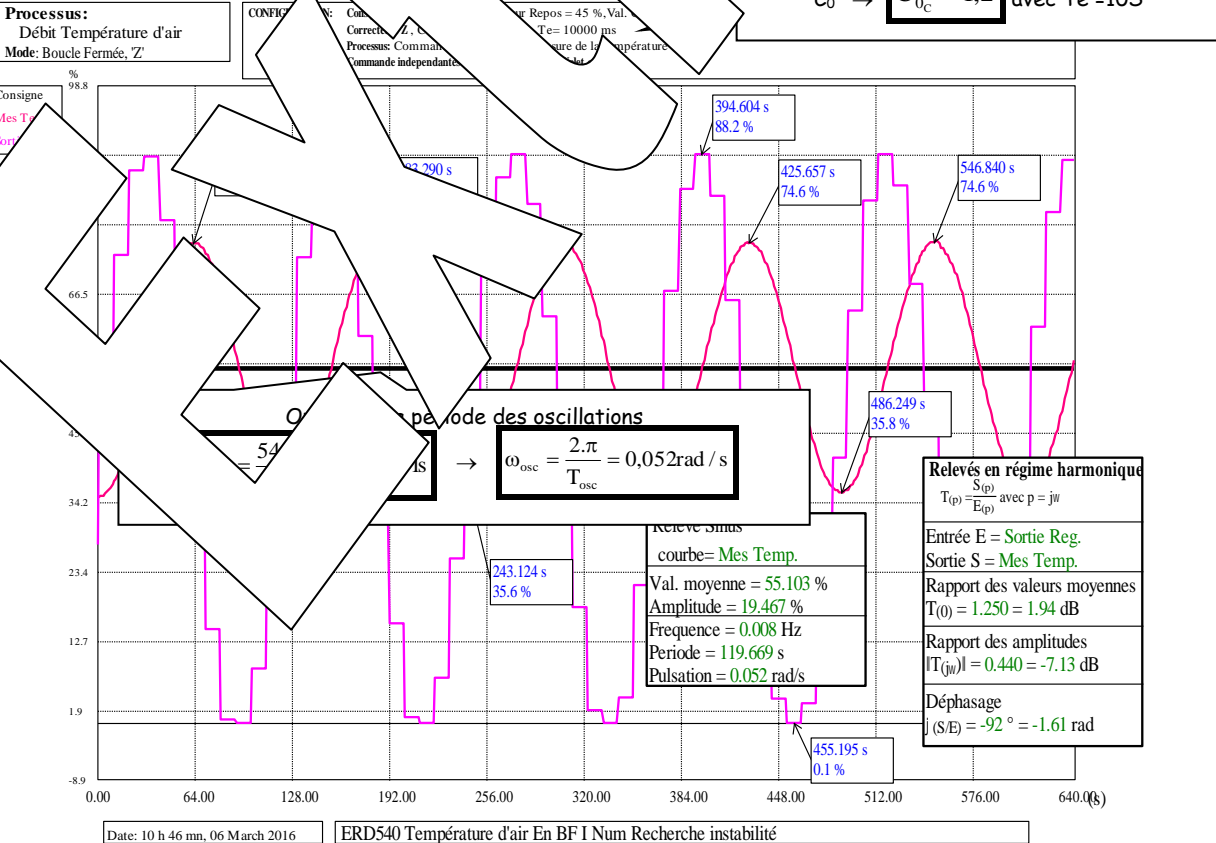


1.2.3 En régime d'échelon de vitesse (rampe)



1.2.4 Recherche de la justesse

Pour $T_e = 10S$



2 ETUDE AVEC CORRECTION I. + ZERO (Z) NUMERIQUES

2.1 Prédéterminations

↪ Influence d'un zéro numérique supplémentaire, en régime harmonique

→ Le zéro numérique peut se mettre sous la forme: $C(z) = C_0 + C_1 z^{-1} = C_0(1 + (C_1/C_0)z^{-1})$ soit $\Delta = -\frac{C_1}{C_0}$

→ En régime harmonique, dans le domaine continu, on fait $p = j\omega$ dans les fonctions de transfert

Or $z = e^{T_e p}$ ce qui donne en régime harmonique: $e^{T_e j\omega} = e^{j\theta_n}$ avec $\theta_n = \omega T_e$

$z \rightarrow e^{j\theta_n} = \cos(\theta_n) + j \sin(\theta_n)$ et $z^{-1} \rightarrow e^{-j\theta_n} = \cos(\theta_n) - j \sin(\theta_n)$

Soit pour le zéro numérique: $1 - \Delta z^{-1} = 1 - \Delta(\cos(\theta_n) - j \sin(\theta_n)) = (1 - \Delta \cos(\theta_n)) + j \Delta \sin(\theta_n)$

Soit la contribution au module: $\|zéro\| = \sqrt{(1 - \Delta \cos(\theta_n))^2 + (\Delta \sin(\theta_n))^2}$

et la contribution en argument: $Arg(zéro) = ATAN\left[\frac{\Delta \sin(\theta_n)}{1 - \Delta \cos(\theta_n)}\right]$

→ Pour des valeurs de Δ comprise entre 0 et 1, et des valeurs de θ_n entre 0 et π , l'argument est positif. C'est en fait une correction à avance (équivalente à la dérivée).

↪ Choix des coefficients C_0 et C_1 en fonction d'un gain et d'une phase imposée

Le choix du coefficient Δ se fait en fonction du gain et de la phase devant caractériser le "zéro" numérique:

Pour une marge de phase 45° :

$$Arg(zéro) = \left[\frac{\Delta \sin(\theta_n)}{1 - \Delta \cos(\theta_n)} \right] = 45^\circ \quad \Delta = \frac{1}{\cos(\theta_n) + \sin(\theta_n)}$$

Le lieu de transfert du système corrigé devant passer à 0 dB à la pulsation $\omega_1 = \omega_{osc}$, on a la relation:

$$C_0 \|z\| \|process\| = 1$$

Or, pour la juste instabilité, la relation:

$$C_{0crit} \|P(\omega_{osc})\| = 1 \rightarrow \|P(\omega_{osc})\| = 1/C_{0critique}$$

D'où l'expression de

$$C_0 = \frac{C_{0critique}}{\|zéro\|} = \frac{C_{0critique}}{\sqrt{(1 - \Delta \cos(\theta_n))^2 + (\Delta \sin(\theta_n))^2}} \quad \text{et celle de } C_1 \quad C_1 = -\Delta \cdot C_0$$

La période d'échantillonnage est égale à $T_e = 10S$:

$$\omega_{osc} = 0,052 \text{ rad/s} \rightarrow \theta_n = 0,52 \text{ rad} \rightarrow \cos(\theta_n) = 0,868 \rightarrow \sin(\theta_n) = 0,497$$

$$\Delta = \frac{1}{\cos(\theta_n) + \sin(\theta_n)} = \frac{1}{0,868 + 0,497} = 0,87 \quad C_{0critique} = 2,33 \rightarrow C_1 = -\Delta \cdot C_0 = -1,7$$

Le module du correcteur en régime sinusoïdal, à $\omega = \omega_{osc}$

$$C_0 + C_1 z^{-1} = C_0(1 - \Delta(\cos(\theta_n) - j \sin(\theta_n))) = C_0((1 - \Delta \cos(\theta_n)) + j \Delta \sin(\theta_n))$$

→ Le module du correcteur (études): $\|C\| = C_0 \sqrt{(1 - \Delta \cos(\theta_n))^2 + (\Delta \sin(\theta_n))^2} = 1,2$

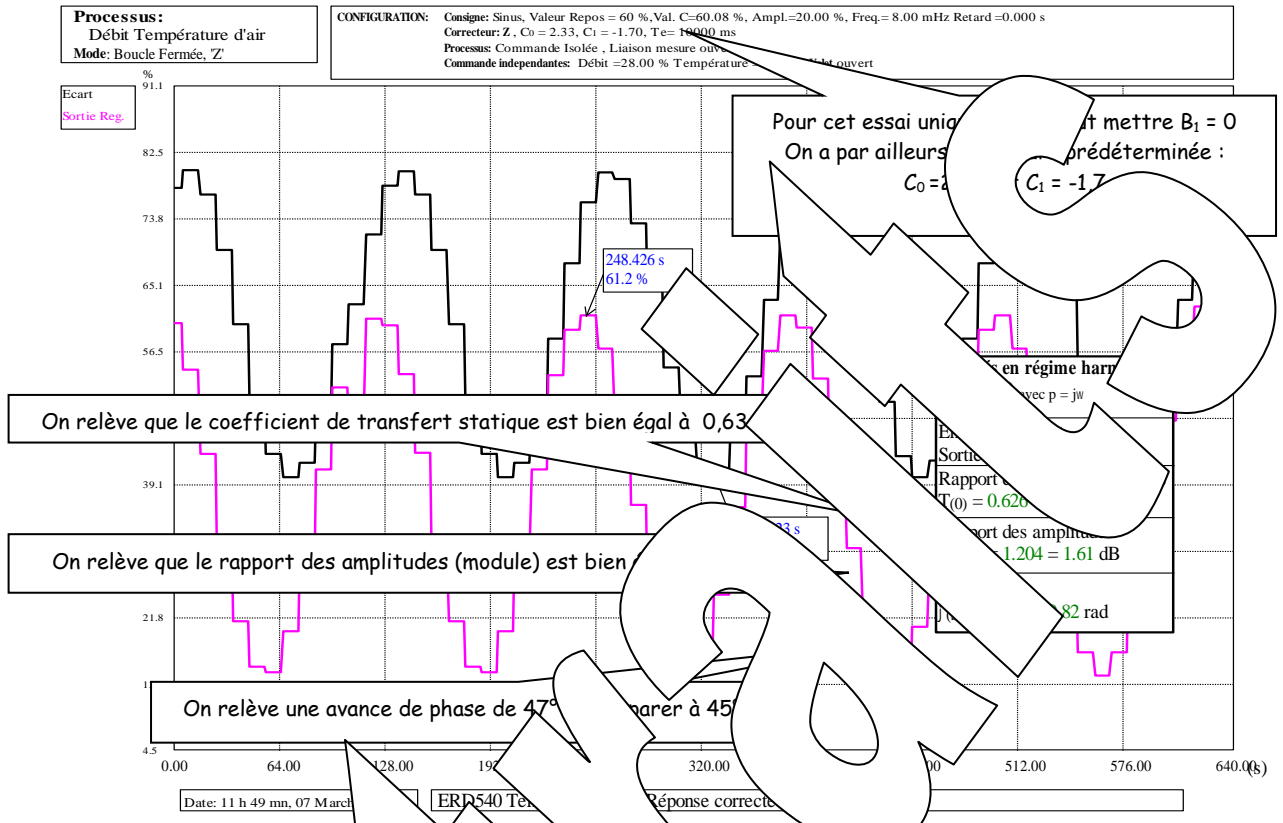
→ L'argument du correcteur: $Arg(C) = ATAN\left[\frac{\Delta \sin(\theta_n)}{1 - \Delta \cos(\theta_n)}\right] = 1,04 \text{ rad} = +60^\circ$

→ Le coefficient de transfert statique: Faire $z = 1$ dans la fonction de transfert en « z »

$$C(1) = C_0 + C_1 \rightarrow C(1) = 0,63$$

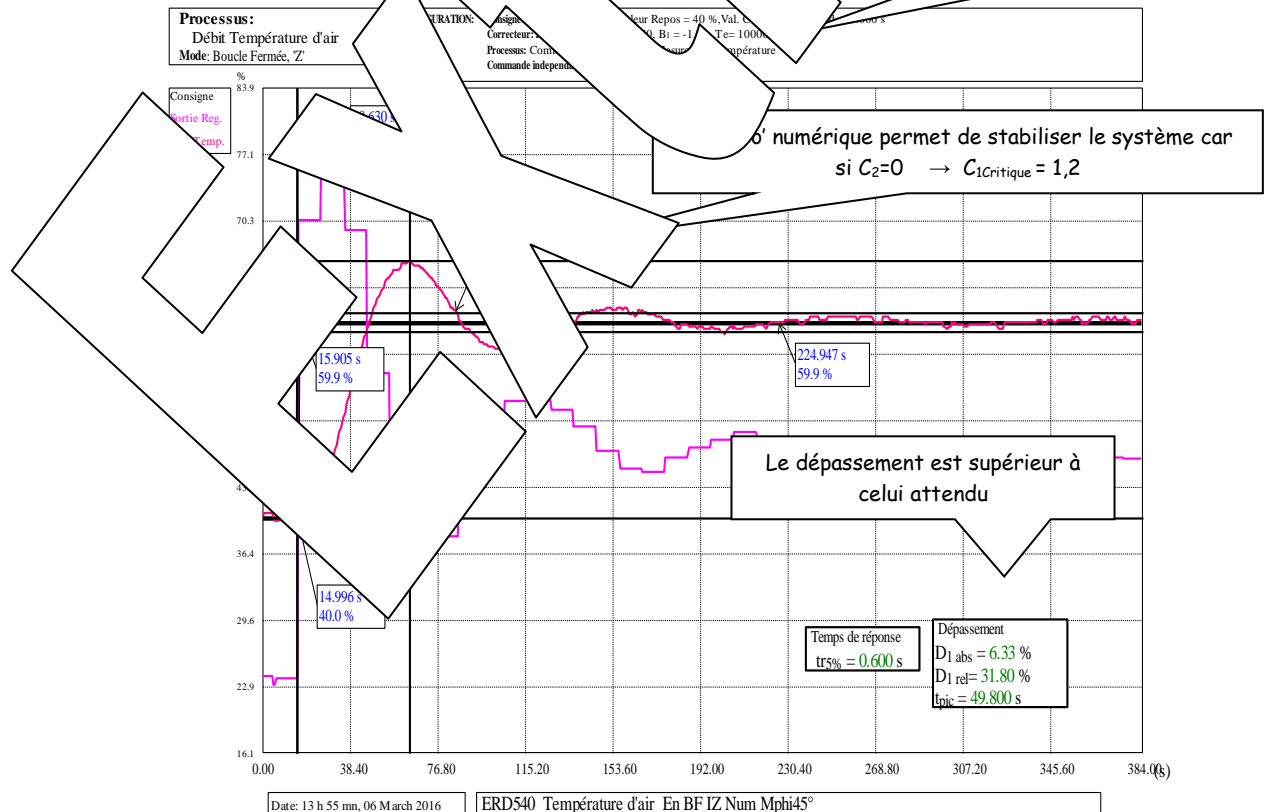
2.2 Expérimentations

2.2.1 Du correcteur 'Zéro' seul en régime sinusoïdal, à $\omega = \omega_{osc}$

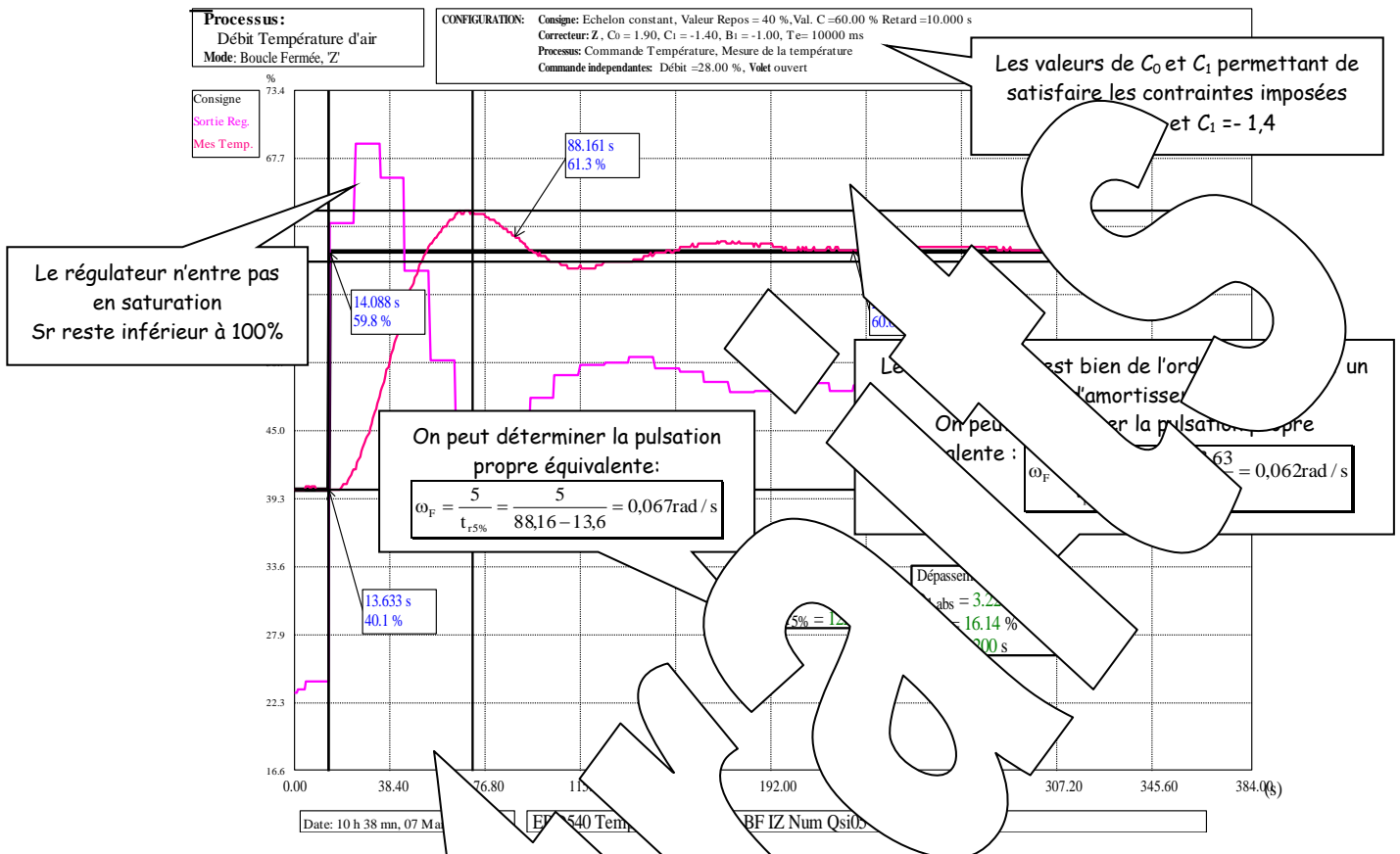


2.2.2 En régime d'échelon

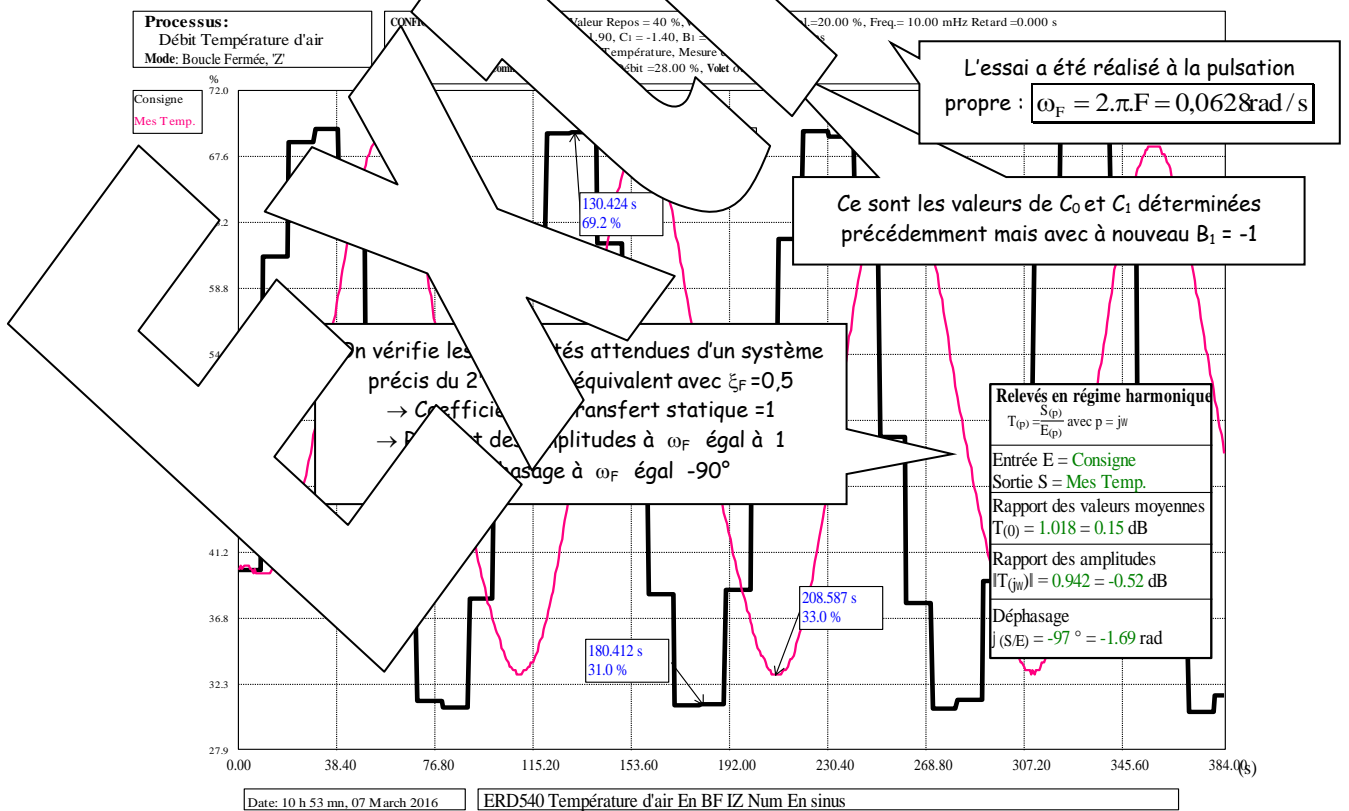
Avec les valeurs des coefficients prédéterminés



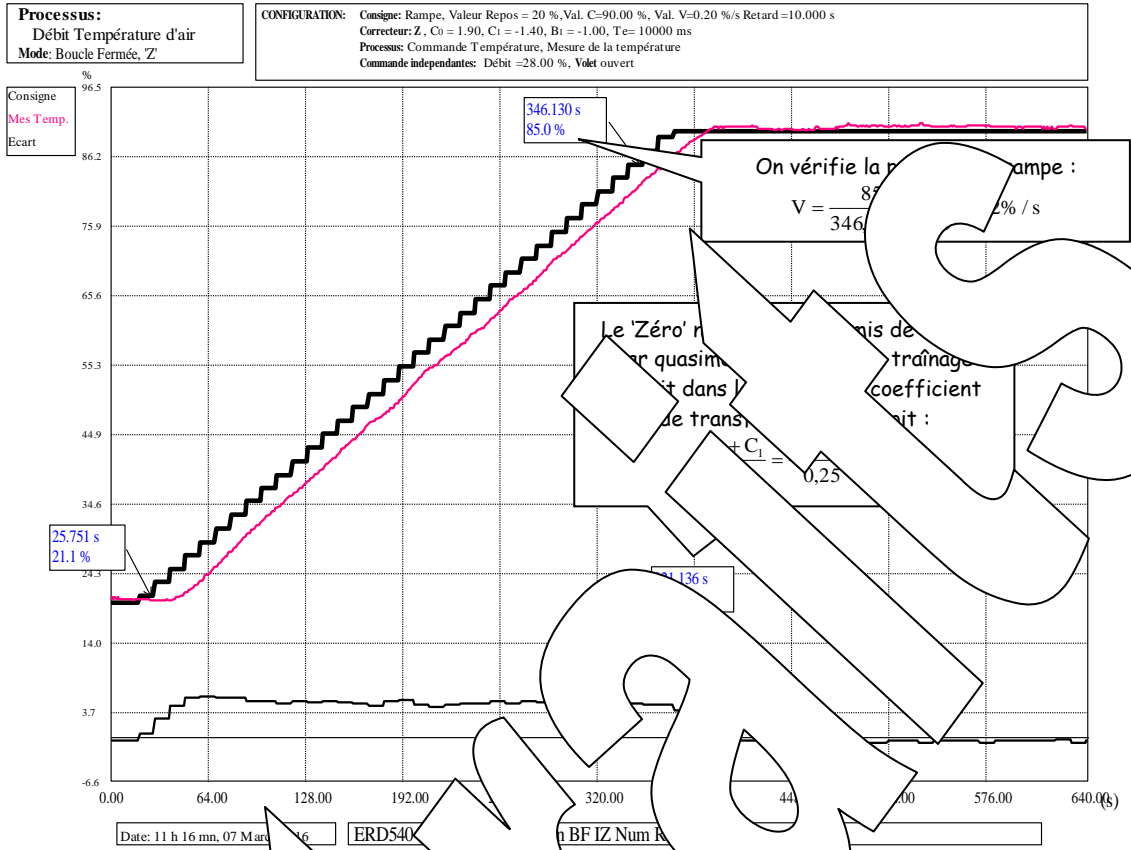
↳ Ajustement des coefficients pour avoir un dépassement limité à 15% (soit un coefficient d'amortissement équivalent estimé à $\zeta_F = 0,5$)



2.2.3 En régime sinusoïdal à la pulsation propre ω_F

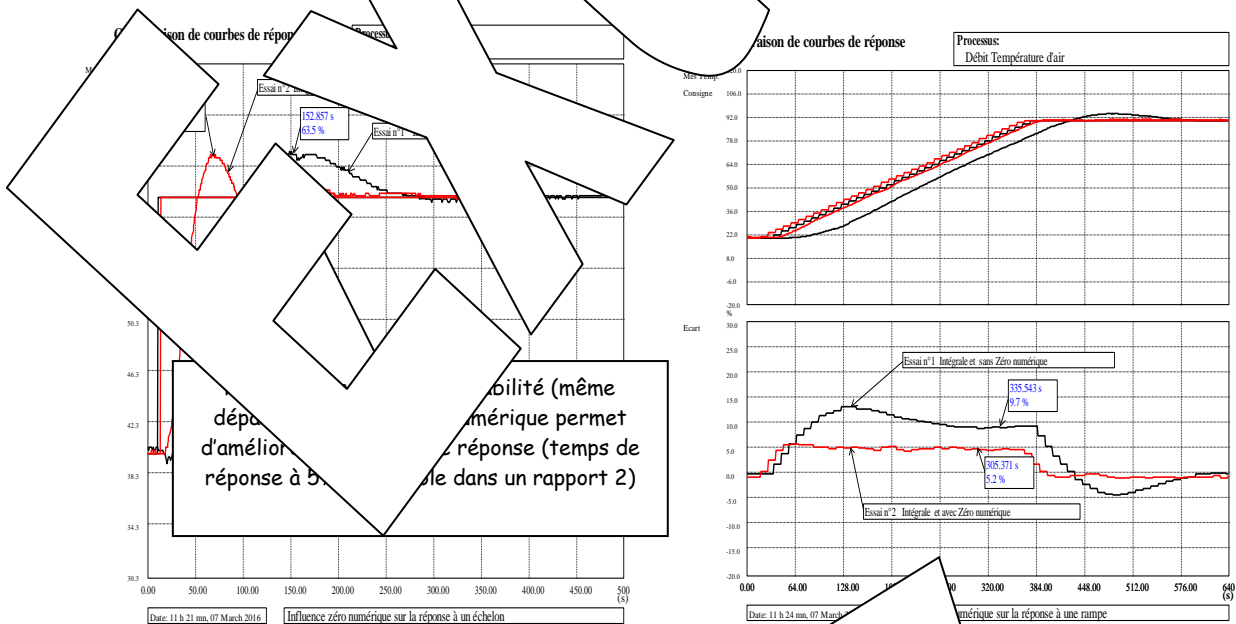


2.2.4 En régime d'échelon de vitesse (rampe)



3 COMPARAISON I.+ NUMERIQUES

3.1 En échelon constant vs rampe





Didacticiel gratuit « D_CCA_Eval »

Objet

Le logiciel « D_CCA » permet le **Contrôle** et la **Commande d'Applications** développées par la **Didalab** dans le domaine des régulations et asservissements.

Le logiciel « D_CCA_Eval » a deux objectifs :

- ↳ Evaluer les possibilités du logiciel « D_CCA » par l'exploitations d'essais expérimentaux, préalablement effectués sur les applications « Didalab » et ce, rapidement;
- ↳ reproduire les exploitations d'essais expérimentaux et de développées dans l'ouvrage « **Automatique : régulations et asservissements** » écrit par Hans et P. Guyénot, ouvrage édités aux éditions « **Lavoisier** ».

Téléchargement :

A partir du site :

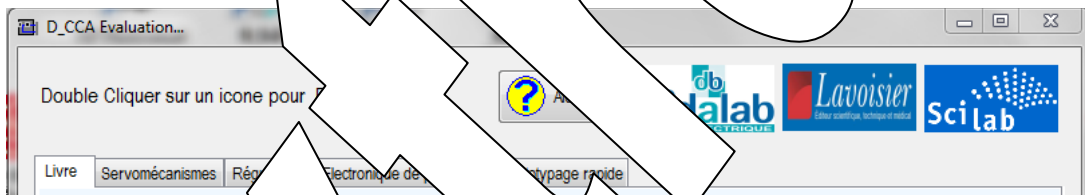
www.didalab.fr/ 
DIDALAB : Matériels Didactiques, Enseignement Technique et Formation

Dans le menu « LE CATALOGUE GENERAL » Cliquer' sur « GENIE ELECTRIQUE » puis sur « Automatique » et enfin sur l'icône de téléchargement :

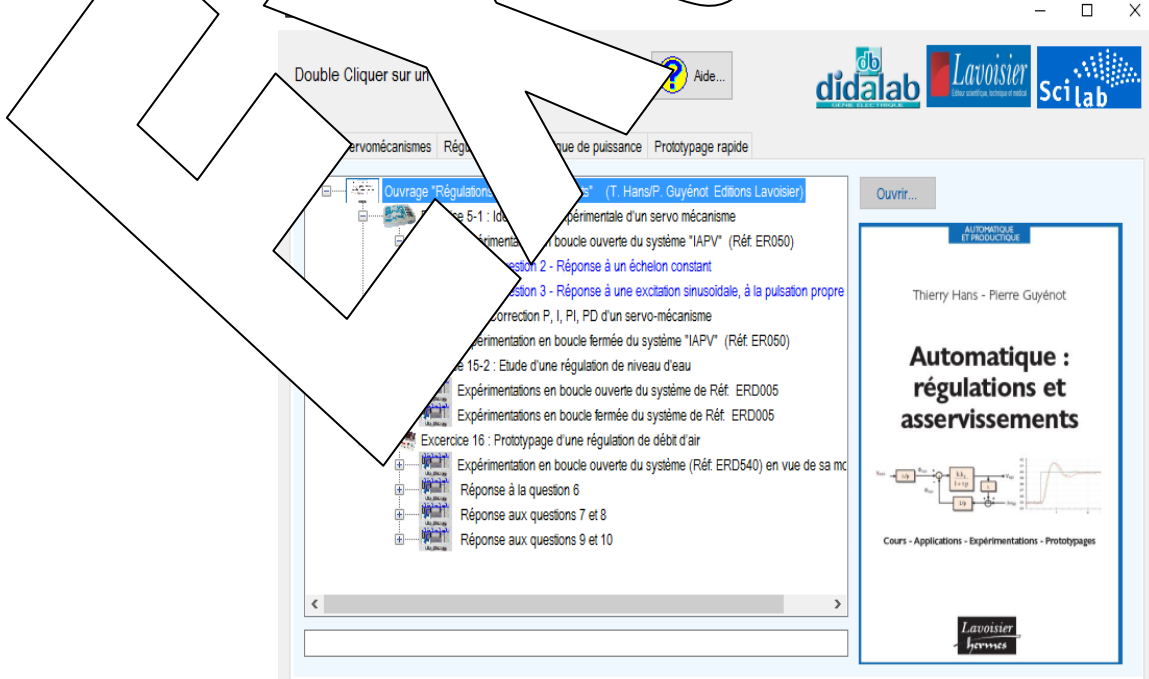


Une version d'évaluation gratuite (Automatique) est téléchargeable sur notre site. Elle permet de tester notre logiciel de Commande et de Contrôle dans le domaine de l'Automatique. Tout le potentiel pédagogique de

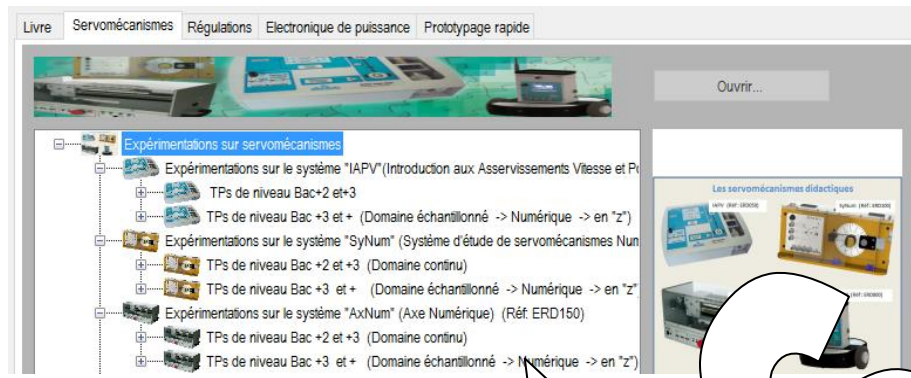
Présentation :



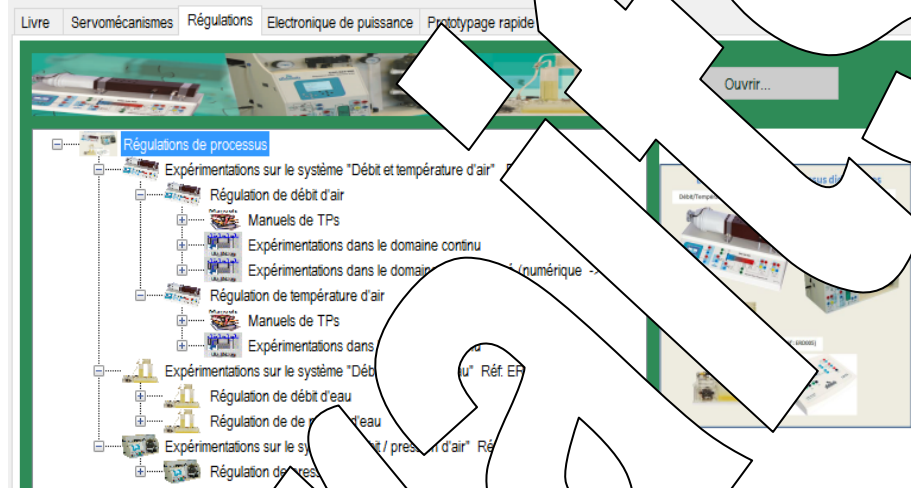
→ Le menu « Ouvrir »



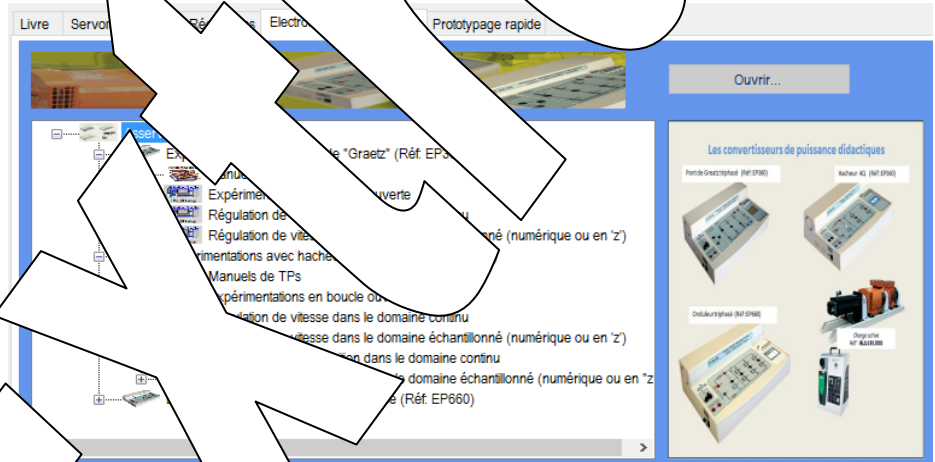
→ Le menu
« Servomécanismes »



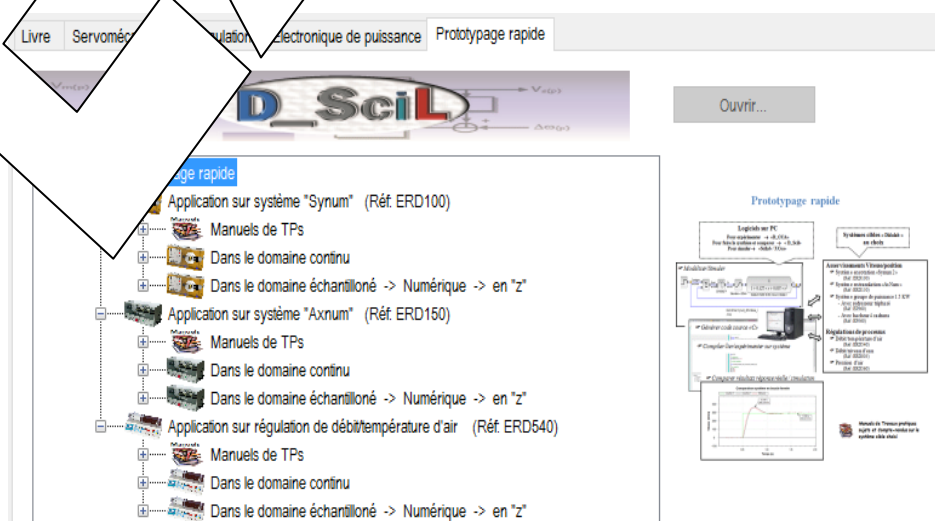
→ Le menu
« Régulations »



→ Le menu
« Electronique de puissance »



→ Le menu
« Prototypage rapide »



EXTRA



didalab

Z.A. de la Clef Saint-Pierre
5, rue du Groupe Manoukian
78990 ELANCOURT
FRANCE



(33) 1 30 66 08 88
Du lundi au vendredi
de 9h à 12h30
et de 14h à 18h



Fax: (33)1 30 66 72 20



www.didalab.fr
E-mail: didalab@didalab.fr